

Согласно принципу Гюйгенса-Френеля, каждую щель можно рассматривать как источник вторичных волн. Обозначим эти «источники» в первом экране  $S_1$  и  $S_2$ , тогда на расстоянии  $r$  от источника вторичные волны описываются функциями

$$A = A_0 \cos(\omega t - kr) \quad , \quad (1)$$

где  $k = \frac{2\pi}{\lambda}$  - волновое число. Чтобы найти функцию, описывающую колебания в щелях  $S_3$  и  $S_4$  во втором экране, необходимо просуммировать волны от щелей  $S_1$  и  $S_2$ . Результат суммирования может быть получен разными способами, например, посредством цепочки преобразований

$$\begin{aligned} A_3 &= A_0 \cos(\omega t - kr_1) + A_0 \cos(\omega t - kr_2) = \\ &= 2 A_0 \cos\left(\omega t - k \frac{r_1 + r_2}{2}\right) \cos\left(k \frac{r_1 - r_2}{2}\right) \quad . \end{aligned} \quad (2)$$

При выводе учтено, расстояния  $r_1$  и  $r_2$  отличаются мало, поэтому амплитуды интерферирующих волн можно считать равными. Вычисление разности хода следует проводить с учетом малости расстояний между щелями по сравнению с расстоянием между экранами. С помощью очевидной и традиционной методики получим

$$\begin{aligned} r_1^2 &= l_1^2 + (h_2 + h_1)^2; \quad r_2^2 = l_1^2 + (h_2 - h_1)^2; \\ 2l_1(r_1 - r_2) &= 4h_2 h_1; \quad \Rightarrow \quad r_1 - r_2 = 2 \frac{h_2 h_1}{l_1}. \end{aligned} \quad (3)$$

Полностью аналогично вычисляется функция колебаний в точке  $x$  на последнем экране, как сумма вторичных волн от щелей  $S_3$  и  $S_4$ . Так разность хода между этими волнами вычисляется с помощью соотношений

$$\begin{aligned} s_1^2 &= l_2^2 + (h_2 + x)^2; \quad s_2^2 = l_2^2 + (h_2 - x)^2; \\ 2l_2(s_1 - s_2) &= 4h_2 x; \quad \Rightarrow \quad s_1 - s_2 = 2 \frac{h_2 x}{l_2}. \end{aligned} \quad (4)$$

А суммирование волн выполняется аналогично преобразованиям (2):

$$\begin{aligned} A_x &= A'_3 \cos(\omega t - ks_1) + A'_3 \cos(\omega t - ks_2) = \\ &= 2 A'_3 \cos\left(\omega t - k \frac{s_1 + s_2}{2}\right) \cos\left(k \frac{s_1 - s_2}{2}\right) \quad . \end{aligned} \quad (5)$$

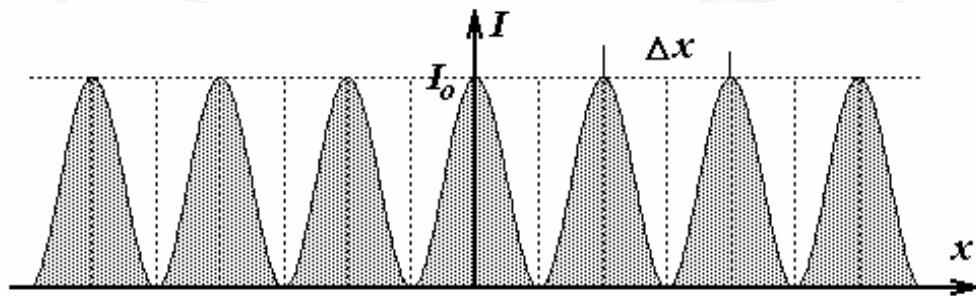
Понятно, что амплитуды интерферирующих волн на последнем экране отличны от амплитуды колебаний в щелях на втором экране, но равны между собой, кроме того, легко показать, что колебания в щелях второго экрана синфазны. Используя полученные ранее выражения, получим амплитуду колебаний в интересующей нас точке

$$A_x = A \cos(\omega t) \cos\left(k \frac{r_1 - r_2}{2}\right) \cos\left(k \frac{s_1 - s_2}{2}\right) = A \cos(\omega t) \cos\left(\frac{2\pi}{\lambda} \frac{h_1 h_2}{l_1}\right) \cos\left(\frac{2\pi}{\lambda} \frac{h_2 x}{l_2}\right),$$

Как известно, интенсивность света пропорциональна среднему квадрату амплитуды колебаний, поэтому распределение интенсивности света на последнем экране описывается функцией

$$I_x = \langle A_x^2 \rangle = I_0 \cos^2\left(\frac{2\pi}{\lambda} \frac{h_1 h_2}{l_1}\right) \cos^2\left(\frac{2\pi}{\lambda} \frac{h_2 x}{l_2}\right). \quad (6)$$

Таким образом интерференционная картина представляет собой набор чередующихся равноотстоящих полос, ширина которых не зависит от расстояния между щелями в первом экране. Это расстояние определяет



интенсивность полос.

Эта же функция (6) описывает зависимость интенсивности света в точке  $x$  экрана от расстояния между щелями во втором экране.

Для определения оптимального положения для экспериментального изучения зависимости интенсивности от расстояния  $h_2$ , перепишем функцию (6) в виде

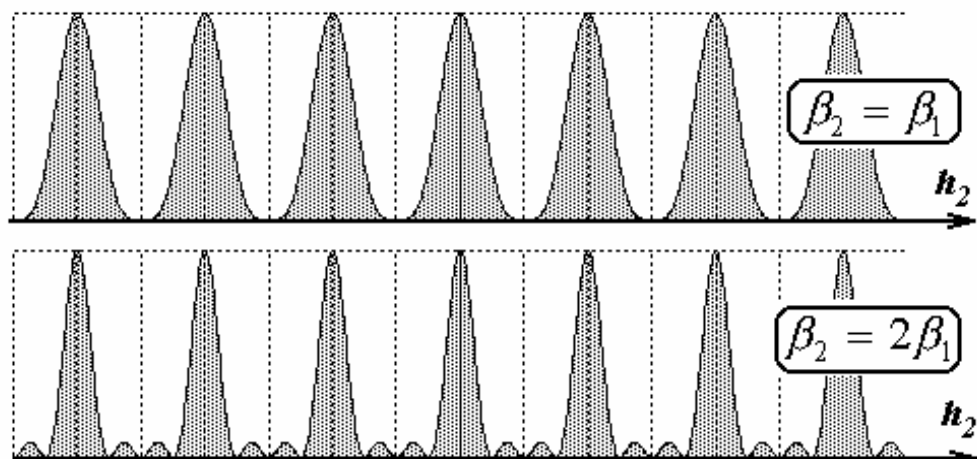
$$I_x(h_2) = I_0 \cos^2(\beta_1 h_2) \cos^2(\beta_2 h_2), \quad (7)$$

где обозначено  $\beta_1 = \frac{2\pi}{\lambda} \frac{h_1}{l_1}$ ,  $\beta_2 = \frac{2\pi}{\lambda} \frac{x}{l_2}$ .

Для выбора оптимального соотношения между параметрами  $\beta_1$ ,  $\beta_2$  используем следующие критерии:

- 1) Эта функция должна быть достаточно простой, чтобы полученная экспериментальная зависимость легко интерпретировалась). Этого можно достичь если параметры  $\beta_1$ ,  $\beta_2$  кратны друг другу ( $\beta_2 = m\beta_1$ ,  $m$  – целое), тогда зависимость (7) будет периодической.
- 2) Эта функция должна иметь резкие максимумы (что бы точность определения ширины полосы была выше), этого можно достичь при возрастании  $S$ . Однако при возрастании  $x$ , во-первых, ухудшается видимость интерференционной картины, во-вторых, усложняется зависимость  $I_x(h_2)$ .

С этих точек зрения наиболее предпочтительными являются значения  $\beta_2 = \beta_1$ ,  $\beta_2 = 2\beta_1$ . На рисунке представлены эти зависимости.



Переход к следующему  $\beta_2 = 3\beta_1$ , по-видимому, уже слишком усложнит вид зависимости. Поэтому оптимальным можно признать соотношение  $\beta_2 = 2\beta_1$ , из которого следует, что приемник целесообразно разместить в точке, находящейся на расстоянии  $x = 2 \frac{h_1 l_2}{l_1}$ .

В заключение можно полюбоваться «трехмерным графиком функции (6).

